

## **ПОЗИТРОНИЕПОДОБНЫЕ СОСТОЯНИЯ В МЕТАЛЛАХ.**

*И.Я.Дехтар, Э.Г.Мадатова, В.И.Силантьев,  
В.Т.Адонкин, С.П.Лихторович, Ш.А.Рустамов.*

В работе впервые наблюдены позитрониеподобные состояния в металлических кристаллах Mo в области температур жидкого гелия и жидкого азота. Результаты свидетельствуют о том, что в определенных условиях и в металлах образуется делокализованный позитроний ( $Ps$ ), движение которого может осуществляться посредством квантового туннелирования.

Как известно образование позитронов в металлах теоретически запрещено, а экспериментально до сих пор не наблюдалось.

Действительно, в работе [1] развита теория из которой следует, что вероятность образования в металле квазисвязанного состояния, аналогичного позитронию определяется критерием, при котором параметр

$\tau_o = 2/\pi a_H R_F > 2,85$ , где  $a_H$  – боровский радиус,  $R_F$  – фермиевский волновой вектор. Поскольку реальные электронные плотности металлов, определяемые параметром  $r_s = r_o/a_H$  ( $r_o$  радиус единичной электронной сферы) таковы, что  $2 \leq r_s \leq 5,5$ , то даже для металлов с малой электронной плотностью (большие значения  $r_s$ ) указанный критерий не выполняется. Учитывая соотношение  $R_F = 1,917/a_H r_s$ , получаем для реальных электронных плотностей металлов условие  $0,667 < \tau_o < 1,825$ . Таким образом, критерий  $\tau_o > 2,85$  представляет своего рода запрет образованию и существованию позитрония в объеме металла.

В другой работе [2] предлагается энергетический критерий образования  $Ps$  в металлах, который приводит к отрицанию такой возможности.

Тем не менее, результаты полученные в работе [3] показали наличие явления аномального прохождения позитронов через сравнительно толстые кристаллы кремния, которое выражается в том, что эти кристаллы являются в определенной степени прозрачными для позитронов  $^{22}Na$  с максимальной энергией  $\sim 0,54 MeV$ . Результаты указывали и на то, что частицы прошедшие, через кристаллы кремния (толщина 0,3 – 0,6 мкм) представляют собой атомы  $Ps$ .

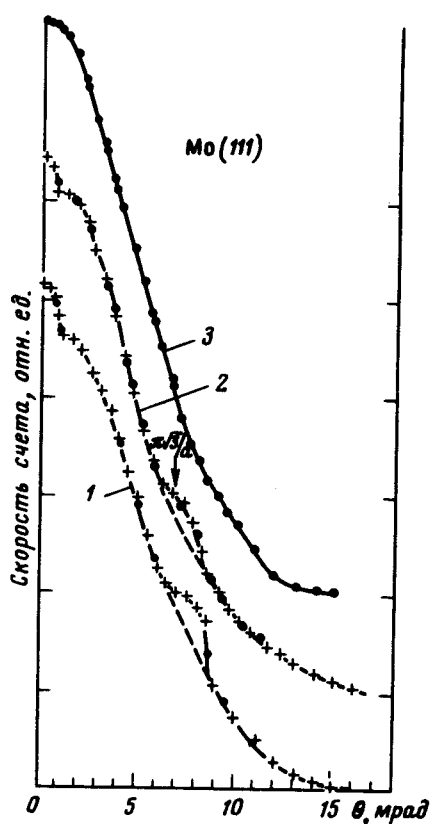
Исследования, проведенные в последнее время однозначно показали, что при определенных условиях можно наблюдать аннигиляцию позитронов из позитрониеподобных состояний, возникающих в объеме кристаллов кремния<sup>1)</sup>. При низких температурах на кривых углового распределения аннигиляционных фотонов (УРАФ) наблюдается узкая компонента, свидетельствующая об аннигиляции позитронов из  $p-Ps$  состояния. Кроме  $p-Ps$  на кривых УРАФ наблюдаются и периодически повторяющиеся боковые сателлиты. Температурная зависимость скорости счета совпадений в пике кривой УРАФ –  $N(\theta=0)$  характеризуется наличием последовательно расположенных максимумов и минимумов, связанных с переходом  $Ps$  из делокализованного (максимум на кривой  $N(0) - T$ ) в локализованное состояние. В настоящей работе сообщается о результатах, полученных при исследовании взаимодействия позитронов с электронами в монокристаллах Мo при комнатной и низких температурах.

На рисунке приведены кривые УРАФ для монокристалла Мo с гранью (111) при 300, 81 и 7,6К. Кристалл помещался в спектрометре УА-64 с гелиевым криостатом таким образом, что Z-компоненты импульсного распределения соответствовала нормали к указанной грани кристалла. Угловое разрешение составляло 0,8 мрад, а статистическая погрешности  $\sim 1\%$ .

При низких температурах на кривых УРАФ четко видна узкая компонента и боковые сателлиты. В то же время при 300К на кривых УРАФ указанных особенностей не видно. Это свидетельствует, как и в упомянутой работе с кремнием, о том, что позитроны в кристаллах Мo обладают состояниями, зависящими от температуры. Узкая компонента при низких температурах свидетельствует об аннигиляции позитрона из парапозитрониевого состояния. Сателлитные пики наблюдаются

<sup>1)</sup>Сообщение направлено в журнал "Письма в ЖЭТФ".

в положениях, соответствующих проекциям векторов обратной решетки на направление измеряемого момента системы.



Нормализованные кривые УРАФ для монокристалла Mo при 300К(1), 81К (2) и 7,6К (3). Стрелкой отмечено положение сателлита, соответствующего проекции вектора обратной решетки на направление измеряемого импульса

Такая картина для металлов наблюдается здесь впервые. Приведенные факты свидетельствуют о том, что при низких температурах и в металлах можно наблюдать  $p$ - $P_s$  в делокализованном состоянии движения его центра-массы, которое может быть описано блоховской волновой функцией. Следовательно, и в данном случае применима модель [4], основанная на неразличимости электрона в  $P_s$  и остальных электронах в кристалле. Согласно указанной модели боковые сателлиты (компоненты больших моментов) в аннигиляционном спектре возникают как результат ортогонализации волновых функций  $P_s$  и валентных электронов кристаллов. Это наблюдалось нами в металлических кристаллах Mo. Отсутствие указанных особенностей при 300К свидетельствует о том, что делокализация  $P_s$  имеет место в совершенных об-

ластях решетки только при соответствующих низких температурах. В других условиях  $Ps$  может локализоваться, например, на дефектах решетки. С другой стороны, в условиях делокализации  $Ps$  в металле, он может рассматриваться как принадлежащий кристаллу в целом, а его движение подобно движению газа квазичастиц, что соответствует квантовомеханическому туннелированию примесонов [5]. Проводятся дальнейшие эксперименты для выяснения характера движения  $Ps$  в металлах.

Институт металлофизики  
Академии наук Украинской ССР

Поступила в редакцию  
8 июля 1977 г.

### Литература

- [1] A.Held, S.Kahana. Canad. J.Phys., 42, 1908, 1964.
  - [2] H.Kanazawa, Y.Ohtsuki, S.Yonagawa. Phys. Rev., 138A, 1155, 1965.
  - [3] И. Я. Дехтар, Э.Г.Мадатова, В.И.Силантьев, В.Т.Адонкин. Письма в ЖЭТФ, 23, 691, 1976.
  - [4] C.H.Hodges, McKee B.T.A., W.Triftshäuser, A.T.Stewart. Canad. J. Phys., 50, 103, 1972.
  - [5] А.Ф.Андреев. УФН, 118, 251, 1976.
-